

### 3.9 La matriz de Cartan

Sea  $\Delta = \{\alpha_1, \alpha_2, \dots, \alpha_\ell\}$  una base  
de nuestro sist. de raíces  $\mathfrak{f}$  de rango  $\ell$

La matriz  $((\alpha_i, \alpha_j^\vee)_{i=1, \dots, \ell}) \in \mathbb{Z}^{\ell \times \ell}$   
se llama la matriz de Cartan de  $\mathfrak{f}$

Ejemplos  $A_1 \times A_1 : \begin{pmatrix} 2 & 0 \\ 0 & 2 \end{pmatrix}$

$$A_2 : \begin{pmatrix} 2 & -1 \\ -1 & 2 \end{pmatrix} \quad B_2 : \begin{pmatrix} 2 & -1 \\ -3 & 2 \end{pmatrix} \quad G_2 : \begin{pmatrix} 2 & -3 \\ -1 & 2 \end{pmatrix}$$

Esta matriz es salvo permutación  
simultánea de renglones o columnas  
indiferentemente de la selección de  $\Delta$

por el Teorema en 3, 7

(todas las bases están conjugadas bajo  $w$ )

- Las entradas diagonales siempre son 2  
y las entradas fuera de la diag  
son de la forma  $-3, -2, -1, 0$

- En el caso  $A_n$  obtenemos

$$\begin{pmatrix} 2 & -1 & & & & 0 \\ -1 & 2 & \ddots & & & \\ & -1 & \ddots & \ddots & & \\ & & -1 & \ddots & \ddots & \\ 0 & & & -1 & \ddots & \\ & & & & -1 & 2 \end{pmatrix}$$

- La matriz de Cartan es invertible  
porque  $\Lambda$  es una  $\mathbb{R}$ -base de  $E$

• El siguiente resultado dice que la matriz de Cartan de formación en  $\bar{Q}$ , es also a isomorfismo.

Prop. Sea  $\bar{Q}' \subset E'$  otro sistema de

raíces con base  $\Delta' = \{\alpha_1', \dots, \alpha_n'\}$

Si  $(\alpha_i^{\vee}, \alpha_j^{\vee}) = (\alpha_i^!, \alpha_j^{!v})^t \quad \forall i, j = 1, \dots, l$   
 entonces, la dirección  $\alpha_i^!$  se extiende (de forma cónica) a un

isomorfismo  $\mathbb{R}$ -lineal  $\varphi: E \xrightarrow{\sim} E'$ ,

que manda  $\bar{Q}$  a  $\bar{Q}'$

y además un isomorfismo de sist.  
 de raíces.

i.e.  $(\varphi(\alpha), \varphi(\beta)^\vee)^t = (\alpha, \beta^\vee)$   
 $\forall \alpha, \beta \in \underline{\Delta}$ .

Dem. Claro  $\exists!$   $\varphi: E \xrightarrow{\sim} E'$   $R$ -lin

$$\text{an } \varphi(\alpha_i) = \alpha'_i \quad \forall i$$

Si  $\alpha, \beta \in \Delta$ , la hipótesis implica

$$\begin{aligned} \varsigma_{\varphi(\alpha)}(\varphi(\beta)) &= \varsigma_{\alpha'}(\beta') \\ &= \beta' - (\beta', (\alpha')^\vee) \alpha' \\ &= \varphi(\beta) - (\beta, \alpha^\vee) \varphi(\alpha) \\ &= \varphi(\varsigma_\alpha(\beta)) \end{aligned}$$

i.e.  $E \xrightarrow{\varphi} E'$

$$\begin{array}{ccc} \varsigma_\alpha \downarrow & \varphi \downarrow & \varsigma_{\varphi(\alpha)} \downarrow \\ E & \xrightarrow{\varphi} & E' \end{array} \quad \forall \alpha \in \Delta$$

Por el teorema de 3.7, los grupos de Weyl  $W$  resp.  $W'$  son generados por los  $s_\alpha$  ( $\alpha \in \Delta$ ) resp.  $s_{\alpha'}$  ( $\alpha' \in \Delta'$ )

$$\Rightarrow \varsigma \mapsto \varphi \varsigma \varphi^{-1}, w \mapsto w'$$

es un isomorfismo de grupos

Ahora cada  $\beta \in \mathbb{I}$  es conjugado, mapea  $w$ , a un el. de  $\Delta$  (Tome en 3.7)

dijamos  $\beta = \varsigma(\alpha)$  para algún

$$\alpha \in \Delta \gamma \varsigma \in W$$

Ento implica que

$$\varphi(\beta) = \underbrace{\varphi \circ \varphi^{-1}}_{\in W'} (\underbrace{\varphi(\alpha)}_{G\Delta'}) \subset \overline{J}'$$

y la formula anterior para las reflexiones muestra que  $\varphi$  respeta a los números de Cartan.

□

En teoría debe ser posible, encontrar  $\overline{J}$  de la matriz de Cartan. En la práctica ( $\gamma$  de  $\Delta$ ) podemos construir los

elentamos de  $\widehat{\mathcal{Q}}$  a partir de  $\Delta$

al construir sucesivamente

a - ceras que permanecen en la  
ya construida.

Por el Lema A de 3.6 así  
clamos con ~~total~~ las raíces  
positivas.

3.10. Gráficas de Coxeter

Diagramas de Dynkin

Sabemos que para  $\alpha \neq \beta$  raíces

$$(\alpha, \beta^\vee) (\beta, \alpha^\vee) \in \{0, 1, 2, 3\}$$

Si  $\Delta = \{\alpha_1, \alpha_2, \dots, \alpha_r\}$  es una base

de  $\mathfrak{I}$  (de rango  $\ell$ ), definimos la gráfica de Coxeter con vértices  $1, 2, \dots, \ell$  y con  
 $(\alpha_i^\vee, \beta_j^\vee)$  ( $\beta_j^\vee, \alpha_i^\vee$ ) aristas entre  $i > j$  ( $i \neq j$ )

Ejemplos  $A_1 \times A_n$ :

$A_2$ :

1 2

1 — 2

$B_2$ :

1 = 2

$G_2$ :

1 ≡ 3

Es fácil ver que la gráfica de Coxeter determina al grupo de

Weyl de  $\mathfrak{g}$  porque el orden  
de  $(\alpha_i, \alpha_j)$  es  
 $(\alpha_i^\vee, \alpha_j^\vee) (\alpha_j, \alpha_i^\vee)$ !

Sin embargo cuando hay aristas  
múltiples (entre  $i$  y  $j$ ) (es decir si las longitudes  
de  $\alpha_i > \alpha_j$  son diferentes  
no podemos saber cuál es más largo  
que el otro).

Por eso, en el diag. de Dynkin  
se agrega un número " $>$ "  
a las aristas múltiples

para otra información

$$B_2 \quad 1 \neq 2$$

$$G_2 \quad 1 \neq 2$$

$$\theta F_4 \quad 1 - 2 \neq 3 - 4$$

Ej. tipo  $A_n$

$$1 - 2 - \dots - (n-1) - n$$

Es fácil de ver que el

diag. de Dynkin de D

es conexo  $\Leftrightarrow$  D es irrecl.

Teorema] Si  $\mathfrak{d} \subset E$  es un sistema imed. de raíces de rango  $l$  (con base  $\Delta$ ), su diagrama de Dynkin es uno de los siguientes (con  $\ell$  vértices)

$$A_\ell \quad (\ell \geq 1) \quad 1 - 2 - \cdots - (l-1) - l$$

$$B_\ell \quad (\ell \geq 2) \quad 1 - 2 - \cdots - (l-1) \not\cong l$$

$$C_\ell \quad (\ell \geq 3) \quad 1 - 2 - \cdots - (l-1) \not\in \ell$$

$$D_\ell \quad (\ell \geq 4) \quad 1 - 2 - \cdots - (l-2) \overset{(l-1)}{\diagdown} e$$

$$E_\ell (\ell=6,7,8) \quad 1 - 3 - \overset{2}{4} - 5 - \dots - \ell$$

$F_4$

$$1 - 2 \neq 3 - 4$$

$C_{\uparrow 2}$

$$1 \neq 3$$

Comentario las restricciones sobre  $\ell$  en los tipos A-D son para evitar repeticiones  $\gamma/\omega$  no def.

- Para los tipos complementos en la sección ( $A_\ell, D_\ell | E_{6,7,8}$ ) la matriz de Cartan es simétrica

(con entradas  $0_1 \dots 0_{l-1}$  fuera de la diag)

- Las matrices de Cartan de tipo  $B_l > C_l$  son transpuestas

Para  $F_4$  cambiar al orientación  
de  $\gamma$  produce un isomorfismo  
isomórfico a  $\{1,2\} \leftrightarrow \{3,4\}$

Idea de la dem:

(0) Estudiamos un espacio euclídeano  $E$

de dimensión  $l$  con una  $\mathbb{R}$ -base

$\beta = \{\mathbf{e}_1, \dots, \mathbf{e}_l\}$  de vectores unitarios  $(\mathbf{e}_i, \mathbf{e}_i) = 1$

$$6. q . (\varepsilon_i, \varepsilon_j) \leq 0 \Rightarrow 4(\varepsilon_i, \varepsilon_j)^2 \in \{0, 1, 2, 3\}$$

ni  $i \neq j$

Por ejemplo, si  $\Delta = \{\alpha_1, \dots, \alpha_k\} \subset \Phi \subset E$

tuviese de nist. de raíces, entonces

$$\varepsilon_i := \frac{\alpha_i}{(\alpha_i, \alpha_i)^{1/2}}$$

Cumple estas condiciones

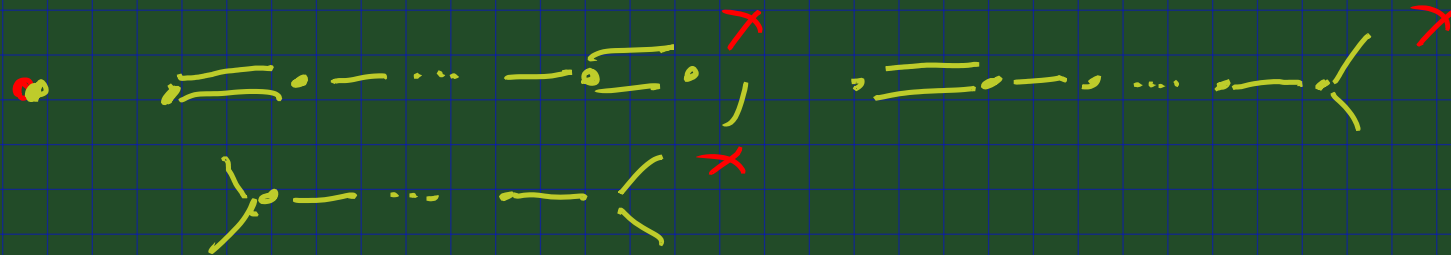
veremos a docer, que tal  $R^-$  base es admisible.

Tiene sentido de estudiar la gráfica de Coxeter  
de bases admisibles y se observa que  
cualquier subconjunto  $B' \subset B$  es una  
base admisible de  $E' = \text{Span}_R(B')$ .

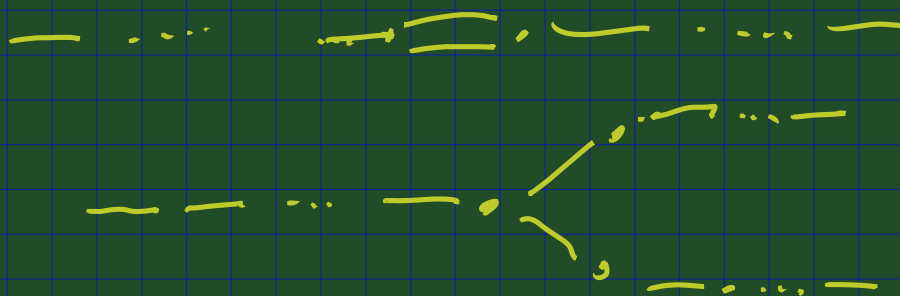
Después se descartan posibilidades  
usando que  $(\varepsilon, \varepsilon) > 0 \wedge \varepsilon \in E \setminus \{0\}$

- La gráfica no puede tener ciclos





$\Rightarrow$  solamente , — o ... . — .



Don espacios etc.  
para irred

Teorema 2 Cada diagrama en Teorema 1 es efectivamente el diag. de Dynkin de un sistema de raíces.

Idea Consideraremos en cada caso un espacio Euclídeano  $E$ , cuando por ejemplo

$$E = \left\{ \sum_{i=1}^{n+1} a_i e_i \in \mathbb{R}^{n+1} \mid a_1 + a_2 + \dots + a_{n+1} = 0 \right\}$$

con una base "estándar"  $e'_1, \dots, e'_n$

$$\gamma \quad I = \bigoplus_{j=1}^n \mathbb{Z} e'_j \subset E \text{ noticiero}$$

E.g.  $(e'_i, e'_j) \in \mathbb{Z}$

$$C_I = \{ \alpha \in I \mid (\alpha, \alpha) \in X \}$$

$X = \{1\}$

$$X = \{1, 2\}$$

$$X = \{1, 3\}$$

Detalles: [H; Sec. 12.1]

A, B, C, D ✓

$$E_{6,7,8} : (e_i, e_j) = \begin{cases} 1 & i=j \\ -1 & i \neq j \\ 0 & \text{others cases} \end{cases} (!)$$

nos def.

$$\phi = \{ \alpha \in I \mid (\alpha, \alpha) = 1 \}.$$